

图 5 $\lg D_2$ 与 $\lg [H^+]$ 的关系
 $[HA]_0 = 2.48 \times 10^{-2} M$, $\mu = [Cl^-] = 2.00 M$,
 1— $[DBBP]_0 = 4.94 \times 10^{-3} M$,
 2— $[TBP]_0 = 4.89 \times 10^{-3} M$ 。

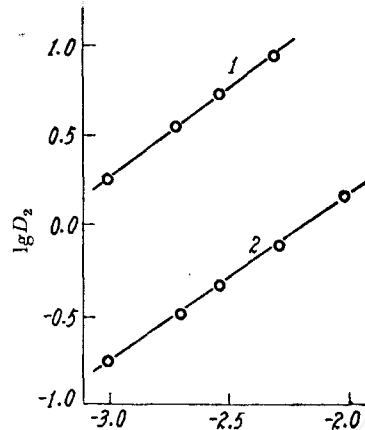
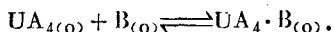


图 6 $\lg D_2$ 与 $\lg [B]_0$ 的关系
 $[H^+] = 0.498 M$, $[HA]_0 = 2.48 \times 10^{-2} M$,
 $\mu = [Cl^-] = 2.00 M$,
 1— $[B]_0 = [DBBP]_0$,
 2— $[B]_0 = [TBP]_0$ 。

3. 讨论 协萃物 $UA_4 \cdot B$ 可以看做是由简单的 UA_4 分子与 B 分子通过加成反应而形成的:



所以这类协同萃取的机理是加成反应。它与 TTA 和中性磷试剂从盐酸介质中协萃钍(IV)的机理相似^[6]。铀(IV)的最大配位数是 8, TTA 的阴离子是二配位基的配位体。

参 考 文 献

- [1] R. H. Betts et al., *Can. J. Research*, **28B**, 1514(1950).
- [2] T. Rydberg et al., *Arkiv Kemi*, **Bd.9**, 81(1956).
- [3] 秦启宗等, 原子能科学技术, **6**, 700(1964).
- [4] Bok L. D. C., Z. *Anorg. Allg. Chem.*, **Bd.404**(1), 76(1974).
- [5] Г. Т. Сиборг, Химия Актинидных Элементов, М. Атомиздат, 1960, стр. 201.
- [6] T. V. Healy, *J. Inorg. Nucl. Chem.*, **19**, 322(1961).

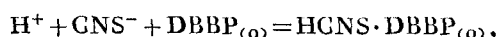
丁基膦酸二丁酯萃取硫氰酸和 硫氰酸铀酰的研究

施 鼎 高宏成 陈振金 徐光宪

(北京 大学)

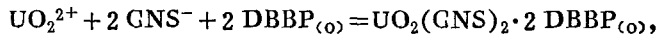
本文研究丁基膦酸二丁酯(DBBP)萃取硫氰酸和硫氰酸铀酰的机理。

DBBP 萃取 HGNS 的反应为



其萃合常数 $K = 15.7(25 \pm 0.5^\circ\text{C}, \mu = 1.1, \text{NH}_4\text{ClO}_4)$, $K = 18.2(25 \pm 0.5^\circ\text{C}, \mu = 1.1, \text{NaClO}_4)$ 。

DBBP 萃取 $\text{UO}_2(\text{GNS})_2$ 的反应为



其萃合常数 $K = 10^{7.40}$ 。

一、引言

近年来，各类萃取剂从硫氰酸体系中萃取分离金属离子的研究十分广泛^[1-4]，它已经成功地应用在水冶中提取纯镍^[5]和钇^[6]。中性磷酸酯对硫氰酸盐的萃取能力远大于硝酸盐，它能萃取锕系元素和稀土元素的硫氰酸盐，也能萃取铁、碱金属和碱土金属的硫氰酸盐^[7,8]。这类萃取体系分配比高，分离系数大，但对萃取机理和萃合物的研究有分歧。例如磷酸三丁酯(TBP)萃取稀土的萃合物，报道中就有 $\text{RE}(\text{GNS})_3(\text{TBP})_3$, $\text{RE}(\text{GNS})_3(\text{TBP})_4$, $\text{RE}(\text{GNS})_3(\text{TBP})_5$ 等。

丁基膦酸二丁酯(DBBP)的萃取能力比 TBP 更强。但有关 DBBP 萃取硫氰酸盐的情况，迄今未见有报道。本文选择这一体系，研究了 DBBP 萃取 HGNS 和硫氰酸铀酰的机理和各种影响因素，并测定了它们的萃合常数。

二、实验部分

1. 试剂 丁基膦酸二丁酯(DBBP)由中国科学院有机化学研究所合成，沸点 125—131°C(5 mm Hg)，经检验不含酸性，折射率 $n_D^{25} = 1.4285$ 。其他所用试剂均为分析纯试剂。

HGNS 溶液是利用 HClO_4 、 NH_4GNS 和 NaClO_4 配制的，其浓度不宜大于 0.5 M。实验中曾发现 0.6 M HGNS 有分解现象，产生黄色的硫和气体硫化氢。通常 0.3 M HGNS 也不宜放置时间太长。铀溶液是将分析纯的硝酸铀酰转成 UO_3 ，再用 HClO_4 溶解配成各种组成的铀溶液，铀浓度用 $\text{K}_2\text{Cr}_2\text{O}_7$ 容量法标定。

2. 萃取操作 按相比取一定体积水相和有机相于平衡管中，恒温振荡 30 分钟(实验证明 15 分钟即达平衡)，静置分层，两相酸度以标准碱滴定，硫氰酸根用 Volhard 法测定，水相铀浓度用铀试剂Ⅲ比色法测定。

三、实验结果和数据处理

1. DBBP 萃取硫氰酸 HGNS 是强酸，在浓度小于 0.5 M 时，可以认为完全电离，萃取反应为：



萃合常数

$$K = \frac{[\text{HGNS} \cdot s \text{DBBP}]_o}{[\text{H}^+] [\text{GNS}^-] [\text{DBBP}]_o}, \quad (2)$$

于是

$$[\text{HGNS} \cdot s \text{DBBP}]_o = K [\text{H}^+] [\text{GNS}^-] [\text{DBBP}]_o \quad (3)$$

当水相 $[\text{H}^+]$ 与 $[\text{GNS}^-]$ 维持不变时，

$$\log [\text{HGNS} \cdot s \text{DBBP}]_o = s \log [\text{DBBP}]_o + \text{常数}.$$

式中 $[\text{HGNS} \cdot \text{sDBBP}]_0$ 可以通过测定有机相酸度或硫氰酸根浓度求得。为了计算 $[\text{DBBP}]_0$, 先假定 $s=1$, 则 $[\text{DBBP}]_0 = C_{\text{DBBP}}^0 - [\text{HGNS} \cdot \text{DBBP}]_0$, 以 $\log [\text{HGNS} \cdot \text{DBBP}]_0$ 对 $\log [\text{DBBP}]_0$ 作图。由图 1 可见, 得一斜率为 0.97 的直线, 表明 $s=1$ 的假定是正确的。

若将(3)式改写为

$$\log \frac{[\text{HGNS} \cdot \text{DBBP}]_0}{[\text{CNS}^-][\text{DBBP}]_0} = \log K - \text{pH},$$

令

$$\log X = \log \frac{[\text{HGNS} \cdot \text{DBBP}]_0}{[\text{CNS}^-][\text{DBBP}]_0} = \log K - \text{pH}. \quad (4)$$

变化 pH, 以 $\log X$ 对 pH 作图, 得到一斜率为 -1.05 的直线(图 2), 也证明生成的萃合物是 HGNS·DBBP。

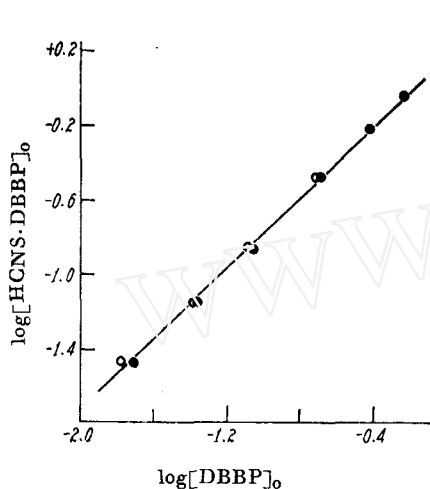


图 1 DBBP 萃取 HCNS-DBBP

浓度的影响 ($\mu=1.1$)
 \circ — $[\text{DBBP}]_0 = C_{\text{DBBP}}^0 - [\text{CNS}^-]_0$;
 \bullet — $[\text{DBBP}]_0 = C_{\text{DBBP}}^0 - [\text{H}^+]_0$.

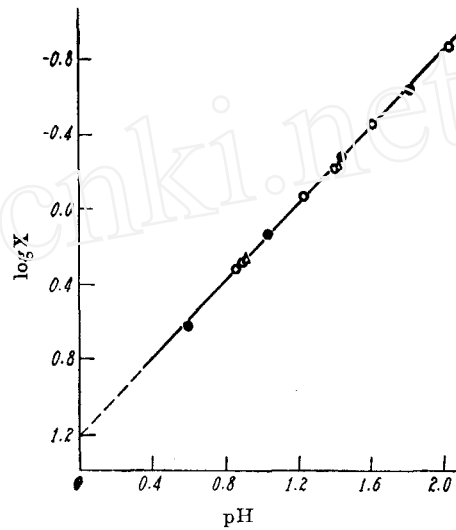


图 2 DBBP 萃取 HCNS-酸度的影响

C_{DBBP}^0 : \circ — 0.1 M, \bullet — 0.2 M,
 \triangle — 0.5 M.

在图 2 中, 如将直线外推至 $\text{pH}=0$, 其截矩为 $\lim_{\text{pH} \rightarrow 0} \log X = \log K = 1.20$, $K = 15.7$ ($\mu=1.1$, NH_4ClO_4)。也可将(3)式改写为:

$$\begin{aligned} \log X' &= \log \frac{[\text{HGNS} \cdot \text{DBBP}]_0}{[\text{H}^+][\text{DBBP}]_0} \\ &= \log K + \log [\text{CNS}^-]. \end{aligned}$$

实验中改变硫氰酸根浓度, 以 $\log X'$ 对 $\log [\text{CNS}^-]$ 作图(图 3), 由直线外推的截矩求得 $K = 15.7$ ($\mu=1.1$, NH_4ClO_4), 与图 2 结果一致; $K = 18.2$ ($\mu=1.1$, NaClO_4)。两种体系的 K 值略有不同。

2. DBBP 萃取硫氰酸铀酰 我们曾测定过 TBP 萃取硫氰酸铀酰有机相的当量电导和粘度, 由此计算萃合物在有机相中不电离, 即生成了中性络合物。因此 DBBP 萃

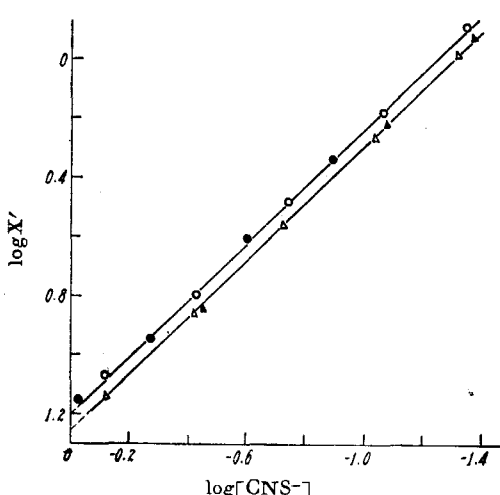
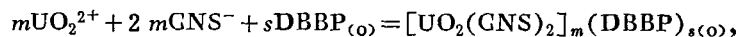


图 3 DBBP 萃取 HCNS-[CNS-] 的影响
 C_{DBBP}^0 : \circ — 0.1 M, \bullet — 0.2 M (NH_4ClO_4);
 C_{DBBP}^0 : \triangle — 0.1 M, \blacktriangle — 0.2 M (NaClO_4)。

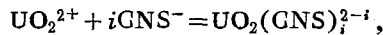
取 $\text{UO}_2(\text{CNS})_2$ 的反应可以写为



萃合常数

$$K = \frac{[(\text{UO}_2(\text{CNS})_2)_m(\text{DBBP})_{s(o)}]_o}{[\text{UO}_2^{2+}]^m[\text{CNS}^{-}]^{2m}[\text{DBBP}]_o^s}. \quad (5)$$

在水相中, UO_2^{2+} 与 CNS^- 有络合作用^[9]



$$\beta_i = \frac{[\text{UO}_2(\text{CNS})_i^{2-i}]_o}{[\text{UO}_2^{2+}]_o[\text{CNS}^{-}]^i}.$$

铀的分配比

$$D = \frac{C_{\text{U}(o)}}{C_{\text{U}}} = \frac{m[(\text{UO}_2(\text{CNS})_2)_m(\text{DBBP})_{s(o)}]_o}{[\text{UO}_2^{2+}]_o Y} \quad (6)$$

$$= \frac{mK}{Y} [\text{UO}_2^{2+}]^{m-1} [\text{CNS}^{-}]^{2m} [\text{DBBP}]_o^s = \frac{mK}{Y} C_u^{m-1} [\text{CNS}^{-}]^{2m} [\text{DBBP}]_o^s. \quad (7)$$

$$\log D = \log \frac{mK}{Y} + (m-1) \log C_u + 2m \log [\text{CNS}^{-}] + s \log [\text{DBBP}]_o,$$

式中,

$$Y = 1 + \beta_1(\text{CNS}^-) + \beta_2(\text{CNS}^-)^2 + \dots;$$

$$[\text{DBBP}]_o = C_{\text{DBBP}}^o - [\text{HGNS} \cdot \text{DBBP}]_o - \frac{S}{m} C_{\text{U}(o)}.$$

(1) 铀浓度对分配比的影响

维持 $C_{\text{HClO}_4}^o = 0.30 M$, $C_{\text{NH}_4\text{CNS}}^o = 0.50, 0.75, 1.00 M$, $C_{\text{DBBP}}^o = 0.050 M$, 改变铀浓度, 测得的分配比绘于图 4。由图可见, $\log D - \log C_u$ 曲线在平衡水相铀浓度小于 $6 \times 10^{-6} M$ 时, 呈一平线, 表明 $m-1=0$, 即 $m=1$ 。当铀浓度变大时, D 下降。

(2) DBBP 浓度对分配比的影响 在 $m=1$ 的铀浓度范围, (7) 式成为

$$D = \frac{K}{Y} [\text{CNS}^{-}]^2 [\text{DBBP}]_o^s. \quad (8)$$

经预平衡维持水相 $C_{\text{CNS}^-}^o = 1.00 M$, $C_{\text{HClO}_4}^o = 0.100 M$, 改变 DBBP 浓度, 测定分配比。以 $\log D$ 对 $\log [\text{DBBP}]_o$ 作图(图 5), 得一斜率 $s=2.08$ 的直线, 表明生成二溶剂络合物 $\text{UO}_2(\text{CNS})_2 \cdot 2 \text{DBBP}$, 其结构式可能是

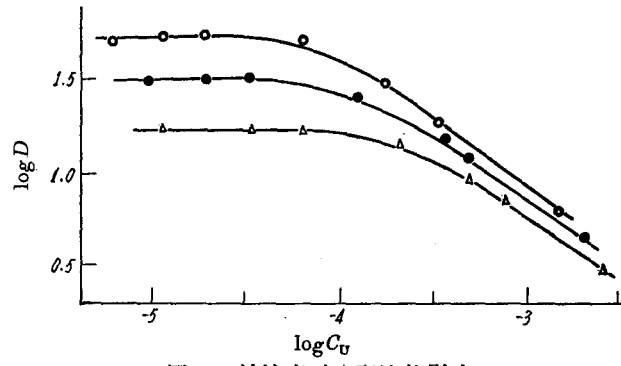


图 4 铀浓度对分配比的影响
 $\mu=1.3$; $C_{\text{CNS}^-}^o$: ○—0.5 M; ●—0.75 M; △—1.0 M.

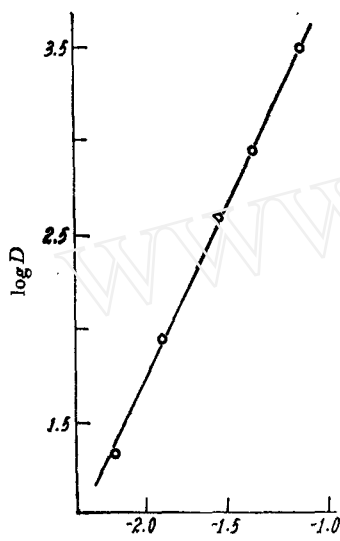
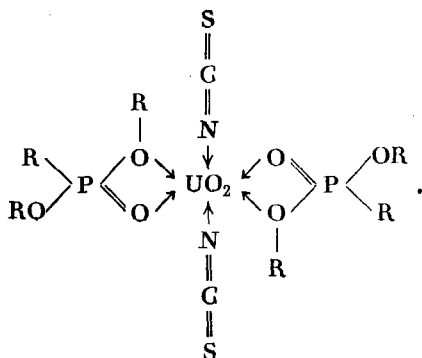


图 5 DBBP 浓度对分配比的影响

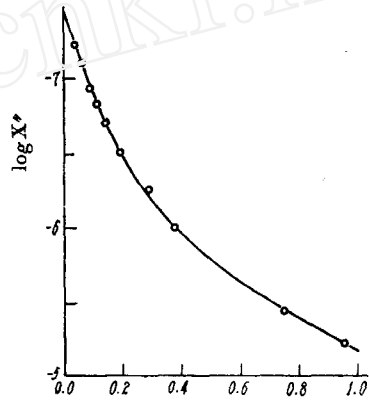


图 6 DBBP 萃取 $\text{UO}_2(\text{CNS})_2$ 的 $\log X''-\text{[CNS}^-]$ 图
($\mu=1.3$)

(3) 硫氰酸根浓度对分配比的影响 将(8)式写为:

$$D = \frac{K}{Y} [\text{CNS}^-]^2 [\text{DBBP}]_0^2, \quad (9)$$

令

$$\begin{aligned} X'' &= \frac{[\text{CNS}^-]^2 [\text{DBBP}]_0^2}{D} = \frac{1}{K} \cdot Y \\ &= \frac{1}{K} (1 + \beta_1 [\text{CNS}^-] + \dots). \end{aligned}$$

实验时改变 CNS^- 的浓度, 以 $\log X''$ 对 $[\text{CNS}^-]$ 作图, 曲线外推至 $[\text{CNS}^-]=0$, 其截矩为

$$\lim_{[\text{CNS}^-] \rightarrow 0} \log X'' = -\log K.$$

由图 6 中求得 $K = 10^{7.40}$.

参 考 文 献

- [1] J. P. Brunetle et al., *J. Inorg. Nucl. Chem.*, **41**, 73—75(1979).
- [2] S. B. Gholce et. al., *J. Inorg. Nucl. Chem.*, **40**, 1681(1978).
- [3] M. Iqbal et. al., *Talanta*, **25**, 371(1978).
- [4] L. I. Lyubushkina et. al., Ref. C. A. **90**, 11072h (1979).
- [5] L. Gandon et. al., French pat., **2**, 129, 916(1972).
- [6] B. Gaudenach et al., U. S. pat., **3**, 751, 553(1973).
- [7] B. Weaver, *Ion exchange and Solvent extraction*, Vol. **6**, p. 189, New York, 1974.
- [8] Y. Marcus et. al., *Equilibrium Constants of Liquid-Liquid Distribution Reaction*, Part **1**, p 11—13, London, 1974.
- [9] 章开诚等, 原子能科学技术, **2**, 169(1979).

ST-602 型玻璃闪烁体热中子绝对效率测定

汲长松 胡德成 旌桂珍 王秀芬

一、引 言

玻璃闪烁体是五十年代末、六十年代初发展起来的一类核辐射探测器。 ${}^6\text{Li}$ 玻璃闪烁体是一种很理想的低能中子、特别是热中子探测器。中子探测器的性能通常以其对某一能量, 或某几个能量的中子的效率来评价。各种类型的中子探测器, 特别是慢中子探测器皆以探测效率作为主要核性能指标。本文将介绍 ST-602 型⁶³镓(Ge)激活 ${}^6\text{Li}$ 玻璃闪烁体(下称 ST-602 玻璃)的热中子绝对效率的测定。

ST-602 玻璃的特点是探测热中子的效率极高。由于平均原子序数 Z 较高, 与其他玻璃闪烁体一样, ST-602 玻璃也对 γ 辐射较灵敏。所以只有在设法排除 γ 辐射干扰的条件下, 才能测得中子探测的最高效率值。中子探测的过程可分成两个部分: 一是入射中子被探测物质俘获; 二是中子俘获引起核反应, 所产生的带电粒子给出可探测的输出脉冲。一般来说, 当输出脉冲幅度分布的微分谱中, 中子脉冲组分分辨率很高的峰时, 原则上所有中子脉冲都能被记录下来。这时探测器探测中子的效率就等于中子俘获的几率。

二、闪烁体的探测效率

假定射入闪烁体的中子数为 N_0 , 在同一时间内测量系统记录的中子数为 N , 则探测系统的效率:

$$\eta = \frac{N}{N_0}. \quad (1)$$

式中探测系统的效率可以看作是由两部分组成: $\eta_{\text{玻}}$ ——玻璃闪烁体的探测效率; $\eta_{\text{电}}$ ——记录系统的传递效率。

$$\eta = \eta_{\text{玻}} \times \eta_{\text{电}}. \quad (2)$$

本实验中可选择记录装置条件(脉冲幅度范围、计数率容量以及噪声等)使满足条件

$$\eta_{\text{电}} = 1, \quad (3)$$